

SP/561/6/2020/JN

p. M. Kondesz

Gdynia, 25.06.2020r.

Starostwo Powiatowe w Koszalinie
KANCELARIA OGÓLNA
W P E Y N E Ł O

1. 07. 2020r.

Starostwo Powiatowe w Koszalinie
Wydział Budownictwa i Ochrony Środowiska
ul. Raclawicka 13
75-620 Koszalin

29. 06. 2020
NR
Zat. Podpis

PROWADZACY INSTALACJE: Polkomtel Infrastruktura Sp. z o.o., ul. Konstruktorska 4, 02-673 Warszawa

DOTYCZY:

Stacji bazowej telefonii komórkowej **BT43256 BOBOLICE**
Zlokalizowanej pod adresem: dz. nr 595/1, obręb 0099 Chociwle, gmina
Bobolice, powiat koszaliński, woj. zachodniopomorskie

Działając w imieniu inwestora w trybie art. 152 ust. 6 pkt. 1 ustawy z dnia 27 kwietnia 2001r. Prawo Ochrony Środowiska (tekst jedn.: Dz.U. z 2019r. poz. 1396 z późniejszymi zmianami) informuję o zmianie danych zawartych w zgłoszeniu instalacji stacji bazowej telefonii komórkowej BT43256 BOBOLICE zlokalizowanej pod adresem dz. nr 595/1, obręb 0099 Chociwle, gmina Bobolice, powiat koszaliński, woj. zachodniopomorskie.

Z poważaniem

Joanna Norek

Adres korespondencyjny:

Joanna Norek
Axians Networks Poland Sp. z o.o.
Ul. Rdestowa 51; 81-577 Gdynia
Tel. 662 124 580
joanna.norek@axians.com

W załączeniu:

- 1) Upoważnienie inwestora
- 2) Sprawozdanie z pomiarów pól elektromagnetycznych dla celów ochrony ludności i środowiska
- 3) Formularz zgłoszenia instalacji

FORMULARZ ZMIANY DANYCH W ZGŁOSZENIU INSTALACJI WYTWARZAJĄCYCH POLA ELEKTROMAGNETYCZNE

I. Wypełnia podmiot prowadzący instalację dokonujący jej zgłoszenia

1. Nazwa i adres organu ochrony środowiska właściwego do przyjęcia zgłoszenia
*Starostwo Powiatowe w Koszalinie
Wydział Budownictwa i Ochrony Środowiska
ul. Raclawicka 13
75-620 Koszalin*
2. Nazwa instalacji zgodna z nazewnictwem stosowanym przez prowadzącego instalację
stacja bazowa BT43256 BOBOLICE (ext. 7)
3. Określenie nazw jednostek terytorialnych (gmin, powiatów i województw), na których terenie znajduje się instalacja, wraz z podaniem symboli KTS¹⁾ jednostek terytorialnych, na których terenie znajduje się instalacja
*KTS1 1002000000000 PÓŁNOCNO-ZACHODNI
KTS2 1002320000000 Zachodniopomorskie
KTS3 1002321000000 Zachodniopomorskie
KTS4 1002321630000 Koszaliński
KTS5 10023216309000 koszaliński
KTS6 10023216309035 Bobolice*
4. Oznaczenie prowadzącego instalację, jego adres zamieszkania lub siedziby
Prowadzący instalację: Polkomtel Infrastruktura Sp. z o.o., ul. Konstruktorska 4, 02-673 Warszawa;
5. Adres zakładu, na którego terenie prowadzona jest eksploatacja instalacji
dz. nr 595/1, obręb 0099 Chociwle gmina Bobolice; powiat koszaliński; województwo zachodniopomorskie
6. Rodzaj instalacji, zgodnie z załącznikiem nr 2 do rozporządzenia Ministra Środowiska z dnia 2 lipca 2010 r. w sprawie zgłoszenia instalacji wytwarzających pola elektromagnetyczne (Dz. U. Nr 130, poz. 880)
instalacje radiokomunikacyjne, których równoważna moc promieniowania izotropowo wynosi nie mniej niż 15W, emitujące pola elektromagnetyczne o częstotliwościach od 30 kHz do 300 GHz
7. Rodzaj i zakres prowadzonej działalności, w tym wielkość produkcji lub wielkość świadczonych usług
działalność w zakresie telekomunikacji przewodowej i bezprzewodowej.
8. Czas funkcjonowania instalacji (dni tygodnia i godziny)
7 dni w tygodniu, 24 godziny na dobę
9. Wielkość i rodzaj emisji²⁾
*sumaryczna moc EIRP anten sektorowych 49297 W
sumaryczna moc EIRP anten radiolinowych 1413 W*
10. Opis stosowanych metod ograniczania emisji
Parametry stacji bazowej zostały tak dobrane, aby ponadnormatywny poziom pola elektromagnetycznego nie występował w miejscach dostępnych dla ludności.
11. Informacja, czy stopień ograniczania wielkości emisji jest zgodny z obowiązującymi przepisami
W miejscach dostępnych dla ludności poziom pola elektromagnetycznego nie przekracza wartości ponadnormatywnych.
12. Szczegółowe dane, odpowiednio do rodzaju instalacji, zgodne z wymaganiami określonymi w załączniku nr 2 do rozporządzenia:

| 1) współrzędne geograficzne anten | 2) częstotliwość pracy | 3) wysokości środków elektrycznych anten nad poziomem terenu | 4) EIRP - równoważna moc promieniowana izotropowo | 5) zakresy azymutów i kątów pochylenia osi głównych wiązek promieniowania |
|-----------------------------------|---------------------------------|--|---|---|
| 53-57-59.55N 16-35-42.97E | 1800 Mhz 900 Mhz | 55,40 m | 4298 W 6097 W | Azymut 10° Pochylenie 0°-7° |
| 53-57-59.55N 16-35-42.97E | 1800 Mhz 900 Mhz | 55,40 m | 4298 W 6097 W | Azymut 10° Pochylenie 0°-7° |
| 53-57-59.55N 16-35-42.97E | 1800 Mhz 2600 Mhz 900 Mhz | 55,40 m | 5050 W 7240 W 5822 W | Azymut 195° Pochylenie 1°-10° |
| 53-57-59.55N 16-35-42.97E | 1800 Mhz 900 Mhz | 55,40 m | 4298 W 6097 W | Azymut 290° Pochylenie 0°-7° |
| 53-57-59.55N 16-35-42.97E | 23 GHz | 58,50 m | 1412,54 W | Azymut 264° |

6) Na podstawie wykonanej analizy stwierdza się, że w odległościach od anten sektorowych, określonych zgodnie z Rozporządzeniem Rady Ministrów z dnia 10 września 2019 r. w sprawie przedsięwzięć mogących znacząco oddziaływać na środowisko (Dz.U z 2019 r. poz. 1839), wzdłuż osi głównych wiązek promieniowania tych anten, nie występują miejsca dostępne dla ludności

7) Sprawozdanie z pomiarów poziomów pól elektromagnetycznych – załącznik nr 2

13. Miejscowość, data (rok - miesiąc - dzień):

Imię i nazwisko osoby reprezentującej prowadzącego instalację

| | |
|---|---------------------------|
| <i>Joanna Nbrech</i> | |
| Podpis | Gdynia, 25.06.2020 |
| II. Wypełnia organ ochrony środowiska przyjmujący zgłoszenie | |
| Data zarejestrowania zgłoszenia | Numer zgłoszenia |
| | |

Objaśnienia:

- ¹⁾ System Kodowania Jednostek Terytorialnych i Statystycznych (KTS) wprowadzony Zarządzeniem wewnętrznym nr 22 Prezesa Głównego Urzędu Statystycznego z dnia 24 sierpnia 2017 r. w sprawie wprowadzenia Systemu Kodowania Jednostek Terytorialnych i Statystycznych
- ²⁾ W przypadku stacji elektroenergetycznych i napowietrznych linii elektroenergetycznych - napięcie znamionowe, a w przypadku pozostałych instalacji - równoważne moce promieniowane izotropowo (EIRP) poszczególnych anten.
- ³⁾ Liczba porządkowa zgodna z numeracją punktów w odpowiednich do rodzaju instalacji ustępach załącznika nr 2 do rozporządzenia.



Laboratorium EMVO Sp. J. Urbański, Pawelak
ul. Jasna 1
00-013 Warszawa

tel. +48 22 780 29 64
e-mail: laboratorium@emvo.pl



AB 1630

Sprawozdanie z pomiarów pól elektromagnetycznych - środowisko ogólne nr 27/06/OŚ/2020-ELT



| | | |
|--------------------------|---|---------------------------------|
| Nr i nazwa stacji | BT43256_BOBOLICE | |
| Adres | 78-430 gm. Bobolice, Chociwle, dz. nr 595/1, woj. zachodniopomorskie | |
| Opracowanie | Martyna Karczmarczyk | Specjalista ds. pomiarów |
| Autoryzacja | Andrzej Urbański | Kierownik Laboratorium |
| Podpis | Podpis jest prawidłowy Dokument podpisany przez Andrzej Urbański Data: 2020.06.23 08:52 CEST Powód: Zatwierdzam dokument | |
| Data | 2020-06-16 | |

Spis treści

| | |
|------------------------------------|---|
| 1. Informacje ogólne..... | 3 |
| 2. Podstawa prawna. | 3 |
| 3. Opis pomiarów..... | 3 |
| 4. Charakterystyka źródeł PEM..... | 4 |
| 5. Wyniki pomiarów..... | 5 |
| 6. Stwierdzenie zgodności..... | 5 |
| 7. Oświadczenie. | 5 |
| 8. Spis załączników. | 7 |

1. Informacje ogólne.

| | |
|--|---|
| Zleceniodawca | Axians Networks Poland Sp. z o.o. ul. Żupnicza 17 – 03-821 Warszawa Osoba udzielająca informacji – Piotr Miliszkievicz |
| Istotne informacje dostarczone przez zleceniodawcę | komplet informacji niezbędnych do wykonania pomiarów i opracowania sprawozdania |
| Prowadzący instalację | Polkomtel Infrastruktura sp. z o.o., ul. Konstruktorska 4, 02-673 Warszawa |
| Lokalizacja obiektu | 78-430 gm. Bobolice, Chociwle, dz. nr 595/1, woj. zachodniopomorskie |
| Miejsce instalacji anten | Wieża rurowa |
| Miejsce instalacji urządzeń | outdoor |
| Osoby wykonujące pomiar | Piotr Kujaszewski |
| Data wykonania pomiaru | 16.06.2020 |
| Temperatura na początku pomiaru [°C] | 20,5 |
| Temperatura na koniec pomiaru [°C] | 22,0 |
| Warunki atmosferyczne | Brak opadów |
| Wilgotność na początku pomiaru [%] | 47,0 |
| Wilgotność na koniec pomiaru [%] | 50,0 |
| Inne źródła pól elektromagnetycznych | Występują |
| Parametry pracy instalacji | Rzeczywisty |

2. Podstawa prawna.

2.1 Normy i rozporządzenia:

- Rozporządzeniem Ministra Klimatu z dnia 17 lutego 2020 r. w sprawie sposobów sprawdzania dotrzymania dopuszczalnych poziomów pól elektromagnetycznych w środowisku (Dz.U. 2020 poz. 258)
- Rozporządzenie Ministra Zdrowia z dnia 17 grudnia 2019 r. w sprawie dopuszczalnych poziomów pól elektromagnetycznych w środowisku (Dz.U. 2019 poz. 2448)
- Obwieszczenie Marszałka Sejmu Rzeczypospolitej Polskiej z dnia 19 lipca 2019 r. w sprawie ogłoszenia jednolitego tekstu ustawy - Prawo ochrony środowiska (Dz.U. 2019 poz. 1396).

3. Opis pomiarów

| | |
|-----------------------|---|
| Metodologia pomiarowa | Pomiary w oparciu o Rozporządzeniem Ministra Klimatu z dnia 17 lutego 2020 r. w sprawie sposobów sprawdzania dotrzymania dopuszczalnych poziomów pól elektromagnetycznych w środowisku (Dz.U. 2020 poz. 258), Dokument PCA DAB-18 „Program akredytacji laboratoriów badawczych wykonujących pomiary pola elektromagnetycznego w środowisku” wyd. 1, Warszawa, 02.02.2017 r. |
|-----------------------|---|

„Bez pisemnej zgody Laboratorium niniejsze sprawozdanie nie może być powielane inaczej, jak tylko w całości. Ponadto wyniki dotyczą tylko badanych obiektów przywołanych w niniejszym sprawozdaniu z badań”

| | |
|---|--|
| Cel badań | Określenie wartości natężenia pola elektrycznego w miejscach dostępnych dla ludności. |
| Opis zestawu pomiarowego | Miernik Narda NBM 520, Sonda EF 9091, o zakresie pomiarowym 0,7 V/m - 400V/m pracująca w paśmie 0,1 – 90 GHz, świadectwo wydane przez Laboratorium Wzorców i Metrologii Pola Elektromagnetycznego, Instytut Telekomunikacji, Teleinformatyki i Akustyki Politechniki Wrocławskiej. Świadectwo ważne do 15.07.2021r. Miernik Narda NBM 520, Sonda EF 9091 pracująca w zakresie temperatury -10°C - +50°C oraz wilgotności 5% - 95%. Niepewność rozszerzona 36,6% przy poziomie ufności 95% z uwzględnieniem współczynnika rozszerzenia k=2. |
| Wypożyczenie pomocnicze | Termohigrometr Termoprodukt, typ: Termik+, nr identyfikacyjny 700618, świadectwo wzorcowania nr 1763/AH/19 z dn. 29.07.2019 r. wydane przez Laboratorium Pomiarowe "MUTECH". Przymiar wstępowy STABILA, nr identyfikacyjny 31WL, świadectwo wzorcowania nr 6W1/1826/19 z dn. 02.08.2019 r. wydane przez Dyrektora Okręgowego Urzędu Miar w Gdańsku. GPS Garmin 64s okresowo sprawdzany w punktach osnowy geodezyjnej klasy 3 na podstawie licencji punktu, zgodnie z procedurą sprawdzeń okresowych IS/PO16-11/03. |
| Szczególne warunki podczas wykonywania pomiarów | Pomiary wykonane zostały podczas obowiązywania w kraju stanu epidemii, zgodnie z art. 122a ust. 1b Ustawy z dnia 27 kwietnia 2001 r. – Prawo ochrony środowiska (Dz. U. z 2019 r. poz. 1396, z późn. zm.9)) |

4. Zróżnicowanie dopuszczalne poziomy pól elektromagnetycznych.

Zakresy znajdują się w Dzienniku Ustaw z dnia 17 grudnia 2019 r. przedstawione są w tabeli nr 2 (Dz. U. z 2019r. poz. 2448).

| Parametr fizyczny Zakres Częstotliwości pola elektromagnetycznego | Składowa elektryczna E (V/m) | Składowa magnetyczna H (A/m) | Gęstość mocy S (W/m ²) |
|--|---------------------------------|---------------------------------|---------------------------------------|
| od 400 MHz do 2000 MHz | $1,375 \times f^{0,5}$ | $0,0037 \times f^{0,5}$ | $f / 200$ |
| od 2 GHz do 300 GHz | 61 | 0,16 | 10 |

5. Charakterystyka źródeł PEM.

Zgodnie z informacją otrzymaną od Zleceniodawcy pomiary zostały wykonane przy ustawieniach pochylenia anten zgodnych z pkt. 13, ppkt 2 załącznika do rozporządzenia Ministra Klimatu z dnia 17 lutego 2020 roku.

Tabela 1. Anteny sektorowe

| Typ anteny | Współrzędne geograficzne | Azymut mechaniczny [°] | Azymut elektryczny [°] | Wysokość środka elektrycznego anten n.p.t. [m] | Pasma częstotliwości | Zakres pochylenia elektrycznego [°] | Średnie pochylenie anten (ustawione do pomiarów PEM) [°] | Kąt pochylenia mechanicznego [°] | Moc EIRP [W] | Suma EIRP [W] |
|------------|----------------------------------|------------------------|------------------------|--|----------------------|-------------------------------------|--|----------------------------------|--------------|---------------|
| 742266V02 | N:53°57'59.55" E:16°35'42.97" | 10 | 10 | 55,4 | 1800 | 0-6 | 3,5 | 0 | 4298 | 10395 |
| | | | | | 900 | 0-7 | 3,5 | 0 | 6097 | |
| 742266V02 | N:53°57'59.55" E:16°35'42.97" | 100 | 100 | 55,4 | 1800 | 0-6 | 3,5 | 0 | 4298 | 10395 |
| | | | | | 900 | 0-7 | 3,5 | 0 | 6097 | |
| 120335 | N:53°57'59.55" E:16°35'42.97" | 195 | 195 | 55,4 | 1800 | 1-10 | 5,5 | 0 | 5050 | 18112 |
| | | | | | 2600 | 1-10 | 5,5 | 0 | 7240 | |
| | | | | | 900 | 2-10 | 5,5 | 0 | 5822 | |
| 742266V02 | N:53°57'59.55" E:16°35'42.97" | 290 | 290 | 55,4 | 1800 | 0-6 | 3,5 | 0 | 4298 | 10395 |
| | | | | | 900 | 0-7 | 3,5 | 0 | 6097 | |

Tabela 2. Anteny radioliniowe

| Typ anteny | Współrzędne geograficzne | Azymut [°] | Średnica [m] | Pasma częstotliwości [GHz] | Zysk energetyczny [dBi] | Moc wyjściowa nadajnika [dBm] | EIRP [W] | Wysokość środka elektrycznego anten n.p.t. [m] |
|--------------------|----------------------------------|------------|--------------|----------------------------|-------------------------|-------------------------------|----------|--|
| UKY 220 45/SC15 | N:53°57'59.55" E:16°35'42.97" | 264 | 0,6 | 23 | 40,5 | 21 | 1122,02 | 58,5 |

6. Wyniki pomiarów.

Wyniki pomiarów pól elektromagnetycznych dla celów ochrony środowiska przedstawia poniższa tabela. Piony pomiarowe zostały przedstawione w zał. 2.

| Nr PP | Pole-E [V/m] | Pole-E *kE, +U [V/m] | Pole-H [A/m] | Pole-H *kE+U [A/m] | Wys. pomiaru [m] | Opis pionu | Uwagi | WM _E | WM _H |
|-------|--------------|----------------------|--------------|--------------------|------------------|----------------------------------|--|-----------------|-----------------|
| 1 | <0,7* | - | <0,002 | - | 0,3-2,0 | N:53°58'02.31" E:16°35'44.04" | otoczenie stacji bazowej - 100m wzdłuż gł. osi promieniowania - GKP | - | - |
| 2 | <0,7* | - | <0,002 | - | 0,3-2,0 | N:53°58'05.49" E:16°35'44.66" | otoczenie stacji bazowej - 200m wzdłuż gł. osi promieniowania - GKP | - | - |
| 3 | <0,7* | - | <0,002 | - | 0,3-2,0 | N:53°58'08.63" E:16°35'45.27" | otoczenie stacji bazowej - 300m wzdłuż gł. osi promieniowania - GKP | - | - |
| 4 | <0,7* | - | <0,002 | - | 0,3-2,0 | N:53°58'12.07" E:16°35'46.02" | otoczenie stacji bazowej - 400m wzdłuż gł. osi promieniowania - GKP | - | - |
| 5 | <0,7* | - | <0,002 | - | 0,3-2,0 | N:53°58'15.60" E:16°35'46.98" | otoczenie stacji bazowej - 500m wzdłuż gł. osi promieniowania - GKP | - | - |
| 6 | <0,7* | - | <0,002 | - | 0,3-2,0 | N:53°57'17.58" E:16°35'47.23" | otoczenie stacji bazowej - 554m wzdłuż gł. osi promieniowania - GKP | - | - |
| 7 | <0,7* | - | <0,002 | - | 0,3-2,0 | N:53°57'59.05" E:16°35'48.30" | otoczenie stacji bazowej - 100m wzdłuż gł. osi promieniowania - GKP | - | - |
| 8 | <0,7* | - | <0,002 | - | 0,3-2,0 | N:53°57'58.32" E:16°35'54.58" | otoczenie stacji bazowej - 200m wzdłuż gł. osi promieniowania - GKP | - | - |
| 9 | <0,7* | - | <0,002 | - | 0,3-2,0 | N:53°57'58.04" E:16°35'59.54" | otoczenie stacji bazowej - 300m wzdłuż gł. osi promieniowania - GKP | - | - |
| 10 | <0,7* | - | <0,002 | - | 0,3-2,0 | N:53°57'57.51" E:16°35'05.45" | otoczenie stacji bazowej - 400m wzdłuż gł. osi promieniowania - GKP | - | - |
| 11 | <0,7* | - | <0,002 | - | 0,3-2,0 | N:53°57'57.23" E:16°35'10.55" | otoczenie stacji bazowej - 500m wzdłuż gł. osi promieniowania - GKP | - | - |
| 12 | <0,7* | - | <0,002 | - | 0,3-2,0 | N:53°57'56.99" E:16°35'13.40" | otoczenie stacji bazowej - 554m wzdłuż gł. osi promieniowania - GKP | - | - |

„Bez pisemnej zgody Laboratorium niniejsze sprawozdanie nie może być powielane inaczej, jak tylko w całości. Ponadto wyniki dotyczą tylko badanych obiektów przywołanych w niniejszym sprawozdaniu z badań”

| | | | | | | | | | |
|----|-------|---|--------|---|---------|---|--|---|---|
| 13 | <0,7* | - | <0,002 | - | 0,3-2,0 | N:53°57'56.19" E:16°35'42.00" | otoczenie stacji bazowej - 100m wzdłuż gł. osi promieniowania - GKP | - | - |
| 14 | <0,7* | - | <0,002 | - | 0,3-2,0 | N:53°57'52.82" E:16°35'40.59" | otoczenie stacji bazowej - 200m wzdłuż gł. osi promieniowania - GKP | - | - |
| 15 | <0,7* | - | <0,002 | - | 0,3-2,0 | N:53°57'49.80" E:16°35'39.46" | otoczenie stacji bazowej - 300m wzdłuż gł. osi promieniowania - GKP | - | - |
| 16 | <0,7* | - | <0,002 | - | 0,3-2,0 | N:53°57'46.42" E:16°35'37.69" | otoczenie stacji bazowej - 400m wzdłuż gł. osi promieniowania - GKP | - | - |
| 17 | <0,7* | - | <0,002 | - | 0,3-2,0 | N:53°57'57.50" E:16°35'36.99" | otoczenie stacji bazowej - 500m wzdłuż gł. osi promieniowania - GKP | - | - |
| 18 | <0,7* | - | <0,002 | - | 0,3-2,0 | N:53°57'41.69" E:16°35'36.73" | otoczenie stacji bazowej - 554m wzdłuż gł. osi promieniowania - GKP | - | - |
| 19 | <0,7* | - | <0,002 | - | 0,3-2,0 | N:53°58'00.25" E:16°35'37.62" | otoczenie stacji bazowej - 100m wzdłuż gł. osi promieniowania - GKP | - | - |
| 20 | <0,7* | - | <0,002 | - | 0,3-2,0 | N:53°58'01.41" E:16°35'33.34" | otoczenie stacji bazowej - 200m wzdłuż gł. osi promieniowania - GKP | - | - |
| 21 | <0,7* | - | <0,002 | - | 0,3-2,0 | N:53°58'02.29" E:16°35'27.92" | otoczenie stacji bazowej - 300m wzdłuż gł. osi promieniowania - GKP | - | - |
| 22 | <0,7* | - | <0,002 | - | 0,3-2,0 | N:53°58'03.16" E:16°35'22.27" | otoczenie stacji bazowej - 400m wzdłuż gł. osi promieniowania - GKP | - | - |
| 23 | <0,7* | - | <0,002 | - | 0,3-2,0 | N:53°58'04.01" E:16°35'17.65" | otoczenie stacji bazowej - 500m wzdłuż gł. osi promieniowania - GKP | - | - |
| 24 | <0,7* | - | <0,002 | - | 0,3-2,0 | N:53°58'04.71" E:16°35'13.97" | otoczenie stacji bazowej - 554m wzdłuż gł. osi promieniowania - GKP | - | - |
| 25 | <0,7* | - | <0,002 | - | 0,3-2,0 | N:53°58'03.21" E:16°35'46.17" | otoczenie stacji bazowej -PKP | - | - |
| 26 | <0,7* | - | <0,002 | - | 0,3-2,0 | N:53°58'00.16" E:16°35'45.69" | otoczenie stacji bazowej -PKP | - | - |
| 27 | <0,7* | - | <0,002 | - | 0,3-2,0 | N:53°58'00.23" E:16°35'53.60" | otoczenie stacji bazowej -PKP | - | - |
| 28 | <0,7* | - | <0,002 | - | 0,3-2,0 | N:53°57'57.21" E:16°35'50.15" | otoczenie stacji bazowej - GKP | - | - |
| 29 | <0,7* | - | <0,002 | - | 0,3-2,0 | N:53°57'56.72" E:16°35'45.23" | otoczenie stacji bazowej - GKP | - | - |
| 30 | <0,7* | - | <0,002 | - | 0,3-2,0 | N:53°57'53.94" E:16°35'45.10" | otoczenie stacji bazowej - GKP | - | - |
| 31 | <0,7* | - | <0,002 | - | 0,3-2,0 | N:53°57'54.49" E:16°35'38.68" | otoczenie stacji bazowej - GKP | - | - |
| 32 | <0,7* | - | <0,002 | - | 0,3-2,0 | N:53°58'02.10" E:16°35'35.55" | otoczenie stacji bazowej -PKP | - | - |
| 33 | <0,7* | - | <0,002 | - | 0,3-2,0 | N:53°58'01.34" E:16°35'40.54" | otoczenie stacji bazowej -PKP | - | - |
| 34 | <0,7* | - | <0,002 | - | 0,3-2,0 | N:53°58'04.29" E:16°35'42.33" | otoczenie stacji bazowej -PKP | - | - |
| 35 | <0,7* | - | <0,002 | - | 0,3-2,0 | N:53°57'58.70" E:16°35'39.02" | otoczenie stacji bazowej - 100m wzdłuż gł. osi promieniowania - GKP | - | - |
| A | <0,7* | - | <0,002 | - | 0,3-2,0 | Traugutta 30, pomiar przed budynkiem -DPP | | - | - |
| B | <0,7* | - | <0,002 | - | 0,3-2,0 | Kochanowskiego 1, pomiar przed budynkiem -DPP | | - | - |
| C | <0,7* | - | <0,002 | - | 0,3-2,0 | Świerczewskiego 17, pomiar przed budynkiem -DPP | | - | - |
| D | <0,7* | - | <0,002 | - | 0,3-2,0 | Świerczewskiego 15, pomiar przed budynkiem -DPP | | - | - |

* poniżej czułości zestawu pomiarowego

GKP - główne kierunki pomiarowe

PKP - pomocnicze kierunki pomiarowe

DPP- dodatkowe punkty pomiarowe

PP – pion pomiarowy

U - niepewność pomiarowa rozszerzona, przy poziomie ufności 95%, z uwzględnieniem współczynnika rozszerzenia k=2

kE– poprawka pomiarowa badanej instalacji radiokomunikacyjnej podana przez operatora (kE=1,47), poprawka pomiarowa w

przypadku oddziaływania innych instalacji radiokomunikacyjnych na badany obszar (kE=2,0)

WM_E - wartość wskaźnikowa poziomu emisji pól elektromagnetycznych dla miejsc dostępnych dla ludności dla składowej elektrycznej pola

WM_H - wartość wskaźnikowa poziomu emisji pól elektromagnetycznych dla miejsc dostępnych dla ludności dla składowej magnetycznej pola

Przyjęto najniższą dopuszczalną wartość składowej elektrycznej pola dla objętego pomiarami zakresu częstotliwości $\min(ME_{gr})= 38,89 \text{ V/m}$ oraz składowej magnetycznej $\min(MH_{gr})= 0,105 \text{ A/m}$.

7. Stwierdzenie zgodności

Na podstawie wytycznych podanych w Rozporządzeniu Ministra Zdrowia z dnia 17 grudnia 2019 r. w sprawie dopuszczalnych poziomów pól elektromagnetycznych w środowisku (Dz.U. 2019 poz. 2448) oraz sposobów sprawdzania dotrzymania tych poziomów zgodnie z Rozporządzeniem Ministra Klimatu z dnia 17 lutego 2020 r. w sprawie sposobów sprawdzania dotrzymania dopuszczalnych poziomów pól elektromagnetycznych w środowisku (Dz.U. 2020 poz. 258) dotyczących źródła wymagań, które muszą być spełnione (załącznik do rozporządzenia Ministra Klimatu z dnia 17 lutego 2020 r. (poz. 258)), w oparciu o zasadę podejmowania decyzji zgodną z pkt 26 załącznika do rozporządzenia Ministra Klimatu z dnia 17 lutego 2020 r. (poz. 258), na podstawie wyników pomiarów pól elektromagnetycznych wykonanych w dniu 16.06.2020 stwierdzono, iż w miejscach dostępnych dla ludności, dopuszczalne poziomy pól elektromagnetycznych w środowisku, określone w przepisach wydanych na podstawie art. 122 ust. 1 ustawy z dnia 27 kwietnia 2001 r. – Prawo ochrony środowiska, uznaje się za dotrzymane w obszarze pomiarowym, w którym w wyniku zastosowania sposobu sprawdzenia dotrzymania dopuszczalnych poziomów pól elektromagnetycznych w środowisku, udokumentowano, że żadna z wartości wskaźnikowych nie przekracza wartości 1.

7. Oświadczenie.

Wyniki badania odnoszą się wyłącznie do badanego obiektu.

Bez pisemnej zgody sprawozdanie nie może być powielane inaczej, jak tylko w całości.

Uwagi i zastrzeżenia przyjmowane są w formie pisemnej w ciągu 14 dni od daty otrzymania sprawozdania.

8. Spis załączników.

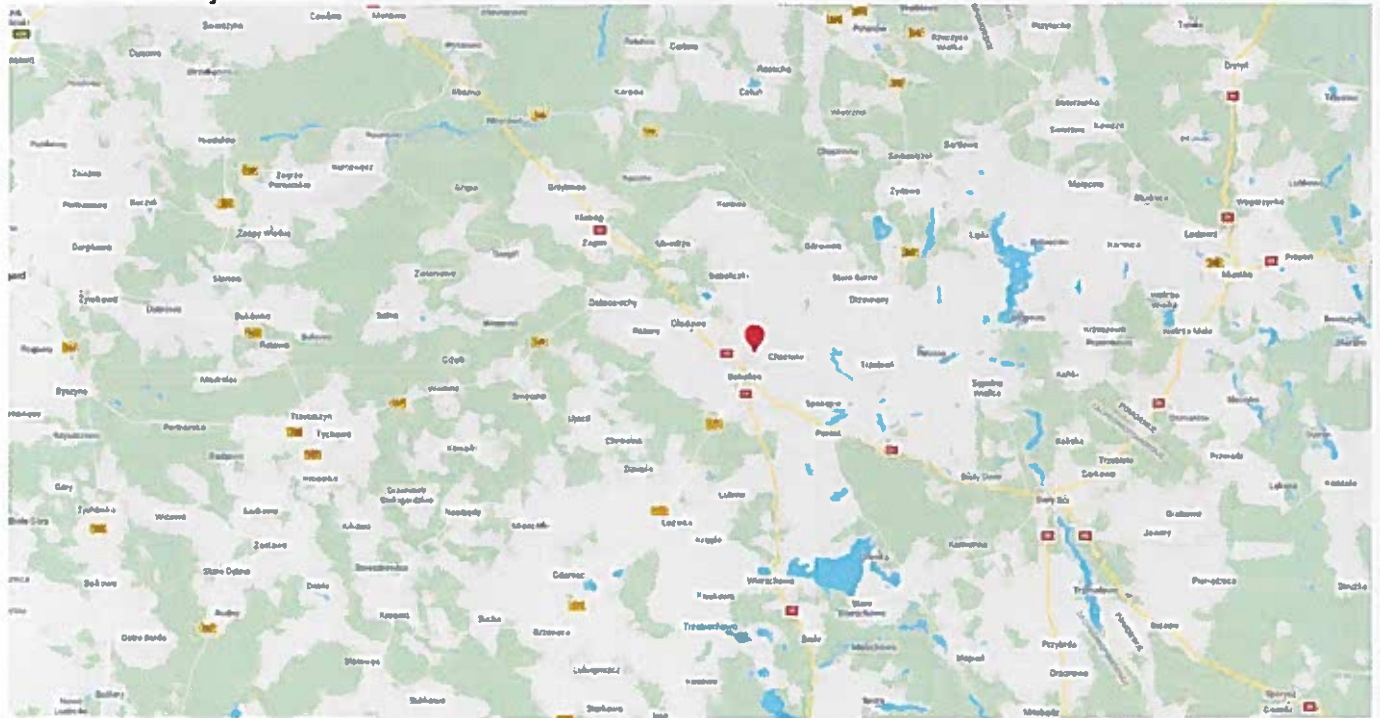
Zał. 1. Lokalizacja obiektu

Zał. 2. Widok pionów pomiarowych

Zał. 3. Załączniki graficzne

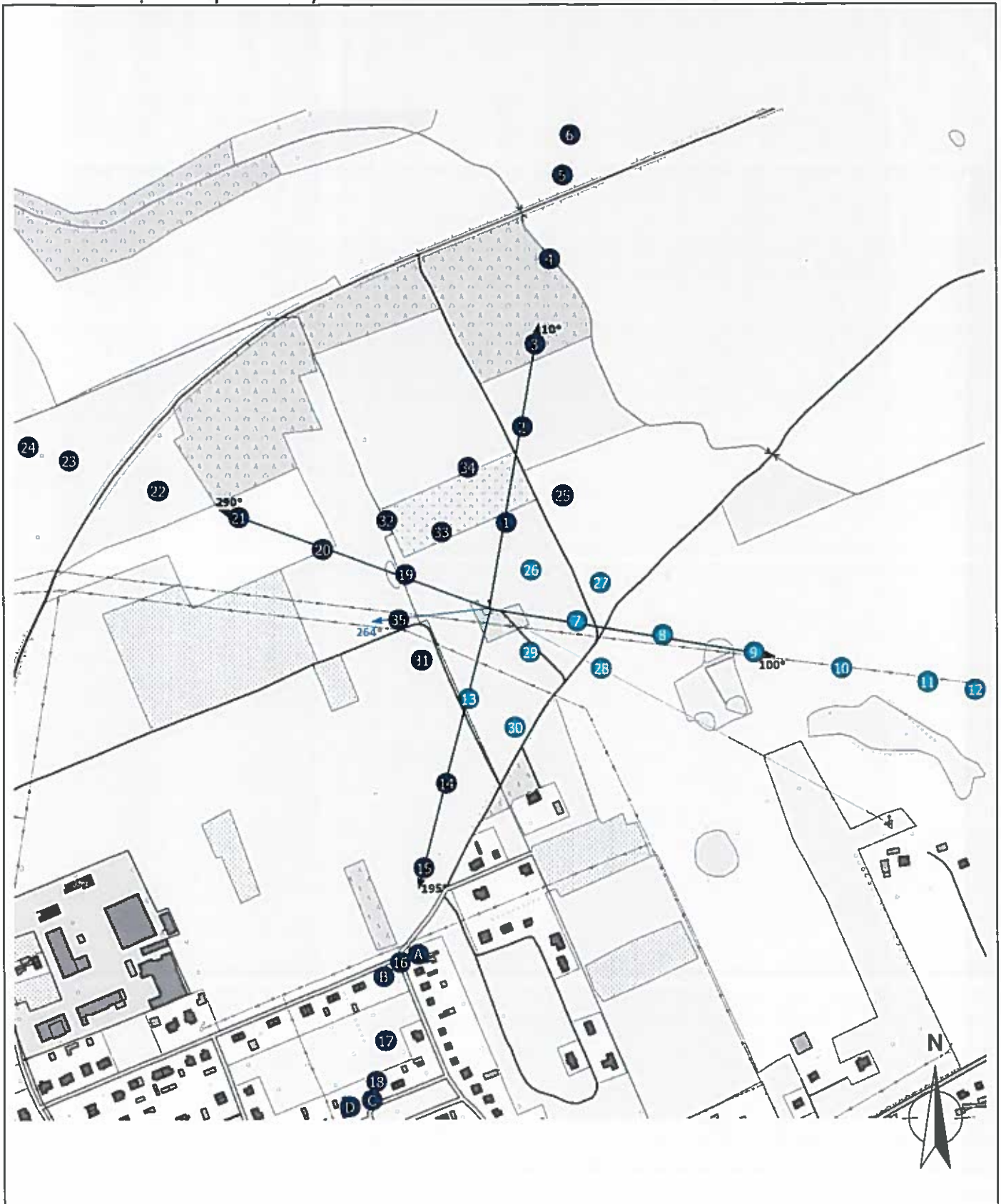
Koniec sprawozdania

Zał. 1. Lokalizacja obiektu



| Współrzędne geograficzne | |
|--------------------------|----------------|
| długość: | E:16°35'42.97" |
| szerokość: | N:53°57'59.55" |

Załącznik 2. Widok pionów pomiarowych



LEGENDA:

 inna instalacja radiokomunikacyjna

Odległość, do której zostały wykonane pomiary mierząc od instalacji antenowej wynosi min. 554 metrów.

 brak dostępu

 nr pion pomiarowy z poprawką pomiarową (brak innych instalacji radiokomunikacyjnych)

 nr pion pomiarowy z poprawką pomiarową (w zasięgu innych instalacji radiokomunikacyjnych)

 antena sektorowa

 antena radioliniowa

Skala: 1:2000

 0 100 200m

„Bez pisemnej zgody Laboratorium niniejsze sprawozdanie nie może być powielane inaczej, jak tylko w całości. Ponadto wyniki dotyczą tylko badanych obiektów przywołanych w niniejszym sprawozdaniu z badań”

27/06/OŚ/2020-ELT

Strona 9 z 10

Załącznik 3. Załączniki graficzne.

